

ВЫСОКОМОЛЕКУЛЯРНЫЕ СОЕДИНЕНИЯ  
Краткие сообщения

Том (Б) XIX

1977

№ 5

КРАТКИЕ СООБЩЕНИЯ

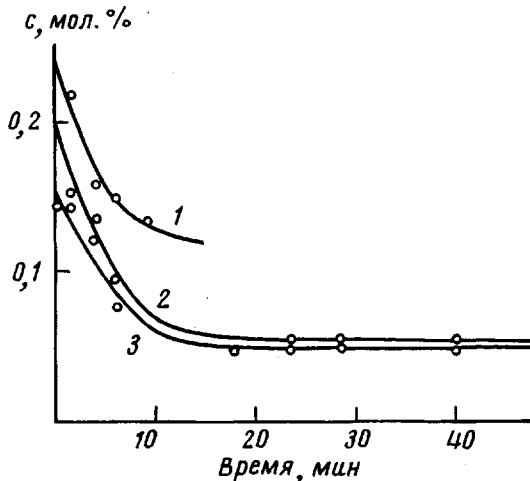
УДК 541.64:547.1'128

ИССЛЕДОВАНИЕ РЕАКЦИОННОЙ СПОСОБНОСТИ СВЯЗИ  $\rightarrow$  Si—H  
В ПОЛИОРГАНОСИЛОКСАНАХ

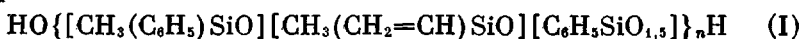
Андранинов К. А., Кудишина В. А., Минаков В. Т.,  
Швец Н. И., Ягунов К. А.

При исследовании влияния карбонилов металлов [1] на процесс отверждения полиорганосилоксанов, содержащих винильные и гидридные группы у атома кремния, высказано предположение, что образование трехмерного нерастворимого кремнийорганического полимера может идти за счет как гидросилилирования, так и дегидроконденсации с участием гидроксильных групп, имеющихся в полимере. На возможность этого указывалось и ранее [2].

Рис. 1. Изменение концентрации функциональных групп в процессе нагревания при 100° в присутствии  $H_2PtCl_6 \cdot 6H_2O$  смеси I+II: 1 — группы — Si—H, 2 — OH-группы, 3 — винильные группы



В настоящей работе сделана попытка оценить вклад гидросилилирования и дегидроконденсации в образование трехмерных нерастворимых кремнийорганических полимеров из полиметилфенилвинил- (I) и полиметилфенилгидросилоксанов (II), получаемых согидролизом в кислой среде соответствующих алкиларилхлорсиланов, взятых в эквимольном соотношении



Взаимодействие I и II осуществляли в присутствии соединений родия и платины [3, 4].

При нагревании смеси олигомеров I и II, взятых в эквивалентных соотношениях по содержанию гидридных и винильных групп при 100° в при-

Таблица 1  
Состав полиорганиновинил- и полиорганогидросилоксанов

Полиоргансилоксан	Элементный состав, % *			Функциональный состав, мол. %		
	Si	C	H	$\geq Si-H$	$-CH=CH_2$	$-OH$
I блокированный	25,39 26,13	52,66 53,71	5,95 5,02	—	0,36 0,30	—
II	21,75 22,18	54,57 51,71	5,75 5,09	0,081 0,071	—	0,30
II блокированный	26,46 27,51	52,12 52,44	6,29 6,94	0,25 0,24	—	—

\* В числителе — найдено, в знаменателе — вычислено.

Таблица 2  
Кинетические параметры реакций связи  $\geq Si-H$  в полиоргансилоксанах

Реакционная смесь	Катализатор $H_2PtCl_6 \cdot 6H_2O$				Катализатор $[Rh(C_6H_5O_2)_2(C_6H_5)_3P]_2$	
	$k$ (мин <sup>-1</sup> ) при $T, ^\circ C$				$E_a^{\text{каж}}$ , ккал/моль	$k$ (мин <sup>-1</sup> ) при $T, ^\circ C$
	70	90	115	130		115
II	0,800	9,662	20,866	—	18,5±1	4,649
Смесь блокированных олигомеров	—	0,456	2,347	6,245	19,0±1	1,935
I+II	—	—	0,224	3,220	—	—
II блокированный	—	—	—	—	—	0,560

существии платинохлористоводородной кислоты содержание всех функциональных групп ( $\geq Si-H$ ,  $-OH$  и  $CH_2=CH-$ ) уменьшается (рис. 1) в течение первых 10 мин., после чего идет гелеобразование.

Для сравнения скоростей реакций гидросилилирования и дегидроконденсации были приготовлены две серии реакционных смесей: первая — олигомер II, вторая — смесь олигомеров I и II, в которых гидроксильные группы заменены на триметилсилоксигруппы (табл. 1). Соотношение концентраций функциональных групп в реакционных смесях было постоянным —  $[\geq SiH]/[-OH] = [\geq Si-H]/[CH_2=CH-]$  (во второй серии)  $= 0,08/0,30$  мол. %.

Реакцию проводили в блоке в присутствии  $10^{-4}$  моля  $H_2PtCl_6 \cdot 6H_2O$  на моль  $\geq SiH$ -групп (0,1 н. раствор в изопропиловом спирте) или в присутствии  $10^{-3}$  моля на моль групп  $\geq Si-H$  диметилглиоксиматного комплекса родия с трифенилfosфином (0,1 н. раствор в бензole) при 70, 90, 115 и  $130^\circ$ . За ходом реакций следили по изменению оптической плотности полосы поглощения связи  $\geq Si-H$  ( $2180 \text{ см}^{-1}$ ) на ИК-спектрах раствора реакционной смеси в  $CCl_4$ . Полученные кинетические кривые приведены на рис. 2, а.

Вследствие значительного избытка гидроксильных групп в первой серии и винильных — во второй, реакции имели формально общий первый порядок (рис. 2, б). Константы скорости реакций, рассчитанные по уравнению первого порядка, и значения кажущейся энергии активации, опре-

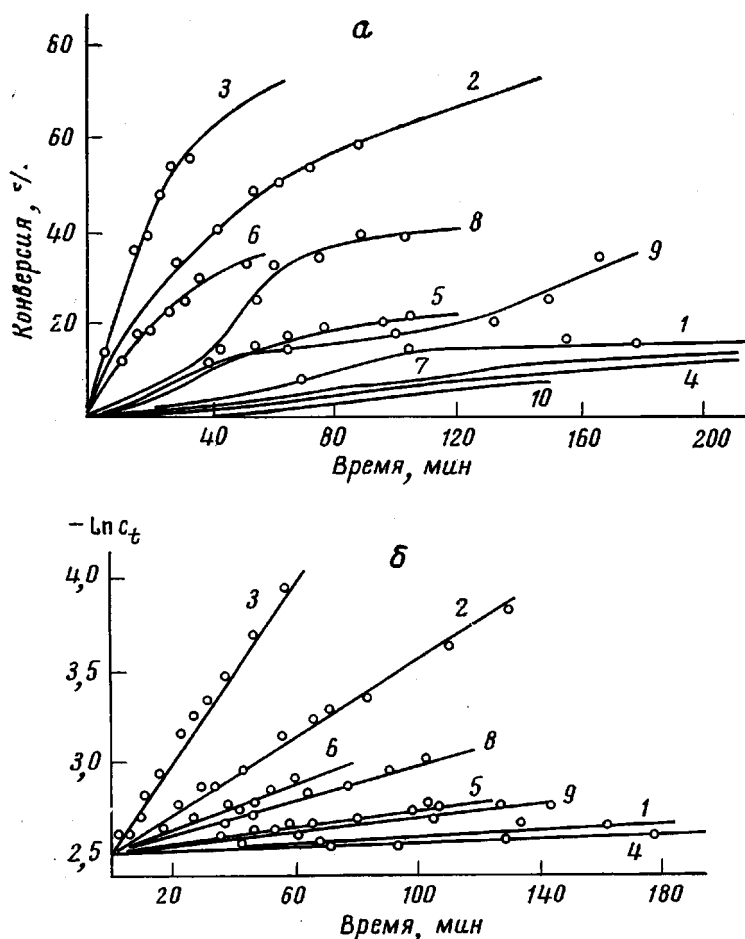


Рис. 2. Изменение во времени конверсии (а) и логарифма концентрации (б) гидридных групп при осуществлении процесса в присутствии  $\text{H}_2\text{PtCl}_6 \cdot 6\text{H}_2\text{O}$  (1–7) и  $[\text{Rh}(\text{C}_6\text{H}_5\text{N}_2\text{O}_2)_2 \cdot (\text{C}_6\text{H}_5)_3\text{P}]_2$  (8–10):  
1–3, 8 – олигомер II; 4–6, 9 – смесь блокированных олигомеров I и II;  
7, 10 – блокированный II. Температура: 1 – 70; 2, 4 – 90; 3, 5, 8, 9 – 115;  
6, 7, 10 – 130°

деленные графически для реакций в присутствии  $\text{H}_2\text{PtCl}_6 \cdot 6\text{H}_2\text{O}$  [5] (рис. 3), приведены в табл. 2. Коэффициент корреляции при расчете  $k$  и  $E_a^{\text{как}}$  равен 0,98–0,99 и 0,98 соответственно.

Порядок полученных  $E_a^{\text{как}}$  свидетельствует о том, что реакция протекает в кинетической области. Различие между значениями кажущейся энергии активации для отдельных серий составляет 3% и не превышает погрешности эксперимента. На основании приведенных результатов можно заключить, что гидросилилирование и дегидроконденсация в присутствии платинохлористоводородной кислоты идут через образование идентичных промежуточных каталитически активных соединений, получающихся при расщеплении катализатором связи  $\text{Si}-\text{H}$  [6].

Определенный вклад в понижение скорости гидросилилирования, несомненно, вносят блокирующие триметилсилоксигруппы. Введение их, например, к атому кремния, соединенному с винильной группой, уменьшает скорость гидросилилирования последней примерно на порядок [7]. С другой стороны, известно, что заместители у атома кремния, соседнего с реакционным центром или удаленного еще более (а именно это и имеет

место в данном случае), не оказывают существенного влияния на скорость гидросилирирования [8].

Таким образом, даже при учете влияния триметилсилоксигрупп скорость дегидроконденсации в присутствии платинохлористоводородной кислоты должна быть примерно равной или несколько выше скорости гидросилирирования.

Для оценки вклада в образование нерастворимого полимера реакции диспропорционирования, катализатором которой является платинохлористоводородная кислота [9], полиорганосилоксан II с концевыми триметилсилоксигруппами нагревали в присутствии  $H_2PtCl_6 \cdot 6H_2O$ . Концентрация гидридных групп при этом уменьшалась (рис. 2, а, кривая 7), однако скорость реакции была примерно на два порядка ниже скорости дегидроконденсации (табл. 2).

Очевидно, в условиях одновременного протекания гидросилирирования, дегидроконденсации и диспропорционирования при структурировании полиоргановинилгидросилоксанов доля последней реакции будет очень незначительна.

Гидролитическая конденсация в условиях отверждения при температуре до  $100^\circ$  в присутствии  $H_2PtCl_6 \cdot 6H_2O$ , вероятно, не идет. На это указывало изменение содержания гидроксильных групп в процессе дегидроконденсации, конверсия которых равна конверсии гидридных групп.

Димерный *bis*-(диметилглиоксимиатный) комплекс родия известен как активный катализатор гидросилирирования [3]. Нами установлено, что он, так же как некоторые другие комплексы одновалентного родия [10], является катализатором реакции дегидроконденсации и, аналогично платинохлористоводородной кислоте, реакции диспропорционирования полиорганосилоксанов (рис. 2). Однако избирательность его выше (табл. 2): если скорость гидросилирирования сравнима со скоростью этой реакции в присутствии платинохлористоводородной кислоты, то скорости дегидроконденсации и диспропорционирования значительно ниже.

Рис. 3. Зависимость логарифма константы скорости реакции от обратной температуры для олигомера II (1) и смеси блокированных олигомеров I и II (2)

Таким образом, полученные результаты дают основание считать, что образование трехмерного нерастворимого полимера при совместном отверждении полиоргановинил- и полиорганогидросилоксанов, содержащих также гидроксильные группы у атома кремния, в присутствии платинохлористоводородной кислоты идет за счет гидросилирирования и дегидроконденсации, причем вклад второй реакции может быть более существенным, чем первой. В присутствии димерного *bis*-(диметилглиоксимиатного) комплекса родия с трифенилfosфином образование полимера происходит преимущественно за счет гидросилирирования.

Поступила в редакцию  
11 VIII 1975

#### ЛИТЕРАТУРА

1. К. А. Андрианов, В. А. Кудишина, Н. И. Швец, В. Т. Минаков, Г. И. Магомедов, В. Г. Сыркин, А. С. Френкель, Высокомолек. соед., A17, 872, 1975.
2. Пат. США 2967170, 1961.
3. В. Б. Панов, М. Л. Хидекель, С. А. Щепинов, Изв. АН СССР, серия химич., 1968, 2397.
4. J. L. Speier, J. A. Webster, G. H. Barnes, J. Amer. Chem. Soc., 79, 974, 1957.
5. Н. М. Эмануэль, Д. Г. Кнорре, Курс химической кинетики, «Высшая школа», 1974, стр. 48.
6. A. J. Chalk, J. F. Harrod, J. Amer. Chem. Soc., 87, 16, 1965.

7. К. А. Андрианов, И. Соучек, Л. М. Хананашвили, Л. Амбруш, Изв. АН СССР, серия химич., 1974, 606.
8. К. А. Андрианов, Л. А. Гаврикова, Е. Ф. Родионова, Высокомолек. соед., А13, 937, 1971.
9. К. А. Андрианов, Б. Г. Завин, Г. Ф. Саблина, Л. А. Лейтес, Б. Д. Лаврухин, А. М. Евдокимов, Высокомолек. соед., В16, 330, 1974.
10. Iwao Ojima, Mitsoru Nihonyagi, Chem. Lett., 1973, 501.

УДК 541.64:542.952

## СТРУКТУРА, ПАРАМЕТРЫ СОПОЛИМЕРИЗАЦИИ И АКТИВНОСТЬ ВИНИЛЬНЫХ МОНОМЕРОВ В РАДИКАЛЬНОЙ ПОЛИМЕРИЗАЦИИ

Чернобай А. В.

По активности винильные мономеры делятся на две группы — быстро реагирующие с макрорадикалами мономеры, в которых двойная связь сопряжена с кратными или ароматическими связями заместителей, и медленно реагирующие остальные мономеры [1].

Развивая эти представления, нам кажется целесообразным классифицировать мономеры в зависимости от характера сопряжения  $\pi$ -электронов винильной группы с заместителем. При этом мономеры делятся на три группы: первая группа с  $\pi$ - $\sigma$ -сопряжением; вторая группа — с  $\pi$ - $p$ - и  $\pi$ - $p$ - $\pi$ -сопряжением и третья группа с  $\pi$ - $\pi$ -сопряжением.

Классификация мономеров по признаку родства электронного состояния реакционного центра имеет несомненные преимущества перед другими типами классификаций. В этом случае химическое строение ряда мономеров меняется постепенно без кардинального изменения реакционного центра, а следовательно, и структуры переходного состояния.

Сравнение активностей мономеров внутри таких рядов является вполне правомерным. Сравнение же мономеров из разных рядов, отличных и по химическому строению, и по электронному состоянию реакционного центра, может привести к ошибочным заключениям.

Поэтому в настоящей работе основное внимание уделено внутргрупповому сравнению активностей мономеров в реакциях полимеризации и сополимеризации.

В таблице даны наиболее характерные представители всех трех групп мономеров, их активности к стирольному макрорадикалу, общие активности в полимеризации и активности в росте полимерных цепей. Там же приведены константы передачи цепи через бензол мономеров различных групп.

Для составления таблицы константы сополимеризации, роста полимерных цепей и передачи цепи через бензол использованы данные работ [1, 6], а общие константы полимеризации получены экспериментально.

Рассматривая данные таблицы, можно прийти к заключению, что увеличение факторов сопряжения  $q$  и полярности  $\epsilon$  по Швану и Прайсу [2] повышает внутргрупповую активность мономеров к стирольному макрорадикалу.

Что касается влияния фактора  $q$ , то это естественно, так как повышение степени сопряжения в молекуле мономера (увеличение  $q$ ) сильно стабилизирует вновь образующийся радикал. Повышение же активности с ростом  $\epsilon$  связано с полярным взаимодействием легко поляризующегося макрорадикала с  $\beta$ -углеродным атомом молекулы мономера, электроотрицательность которого возрастает.